

## ЭЦ НАГРЕВ НИЗКОЙ МОЩНОСТИ НА УСТАНОВКЕ Т-10

А.А.Багдасаров, В.Г.Мережкин

Институт атомной энергии им. И.В.Курчатова  
123182, Москва

Поступила в редакцию 22 апреля 1991 г.

В режиме  $P_{ECH} \approx 330$  кВт,  $q(a) \approx 3,7$ ;  $n_e \approx 1,5 \cdot 10^{13}$  см $^{-3}$  на установке Т-10 практически не наблюдалось снижения времени удержания энергии в электронах при удвоении электронной температуры и полной мощности нагрева  $P_{OH} + P_{ECH}$ .

Оценки потерь, связанных с электронами, запертными в гофрах горизонтального поля Т-10, показывали, что эти потери могут стать существенными после повышения электронной температуры в этой установке до 5-6 кэВ<sup>1</sup>. Чтобы выяснить влияние этих потерь на наблюдаемые потери в Т-10, в частности, обнаруженную в<sup>2</sup> зависимость  $\tau_E \sim P_{tot}^{-0.6}$  при  $P_{tot}/P_{OH}^0 = 3 - \infty$   $P_{tot} / P_{ECH} + P_{OH}$ ,  $P_{OH}^0$  — мощность омического нагрева до включения ЭЦН), необходимо было провести достаточно точное сопоставление с расчетом измеренных профилей  $T_{er}$  и энергетических времен  $\tau_E$  при различных уровнях ВЧ мощности. В первую очередь интересно было проверить сохранение величины  $\tau_E$  при пониженной ВЧ мощности до  $\sim P_{OH}^0$ . Такая возможность была показана в<sup>1</sup>, а также в экспериментах с ЭЦН на установке Т-7<sup>3</sup>, где было обнаружено сохранение величины  $\tau_{Be}/\tau_e$  в режимах с омическим и дополнительным нагревом.

ЭЦ нагрев низкой мощности в Т-10 исследовался в типичном рабочем режиме при токе в плазме  $I_p \approx \infty / -$  кА, радиусе лимитера  $a_L /$  см, магнитном поле  $B_0 \approx$ , кГс и  $n_e \sim \infty$ ,  $\sim 10^{13}$  см $^{-3}$ . В омическом режиме  $Z_{eff}$  имели значения < и излучательные потери не превышали 50 кВт ( $\sim P_{OH}^0$ ). Автоматическая подстройка газонапуска поддерживала среднюю плотность плазмы при включении ЭЦН. Длительность разрядного импульса составляла  $\sim$ , с.

Эксперимент с ЭЦН проводился с одним гиротроном, который обеспечивал центральный нагрев на первой гармонике ЭЦР мощностью до 380 кВт ( $\lambda /$ , мм), длительность ВЧ импульса  $\sim$ , с, длительность фронта 0,3 мс). По данным лиамагнитных измерений запас энергии в плазме при ЭЦН повышался до  $\sim \infty$  кДж. ( $\beta_p /$ , ±, в импульсе 49965). Ионная температура  $T_i$ , измеренная по атомам перезарядки, практически не менялась во время ЭЦ нагрева и имела величину  $\sim$  эВ.

Диагностика профилей  $T_{er}$ 

Изменения электронной температуры в омическом режиме и в импульсе ЭЦН находились по сигналам излучения на второй гармонике ЭЦР в шести точках по радиусу плазменного шнура  $r$ . Поведение этих сигналов в омическом режиме было достаточно плавным во время подъема тока и относительно резким в начале спада тока  $I_p$ . Эти изменения в сигналах ЭЦИ на спаде тока оказались связанными со смещением плазменного шнура к внешней стороне тора, а также с уменьшением поля  $B_0$ , которое снижалось вместе с током и управляющим полем в конце разряда импульса на Т-10. Анализ данных по смещению шнура, которые находились из смещения профиля плотности

$n_e$  и учет спада поля  $B_0$  показал, что на отрезке времени  $\Delta T < 30 - 40$  мс после начала спада тока изменения в сигналах ЭЦИ связаны с перемещением координаты  $x$  принимаемого излучения при слабых возмущениях профиля  $T_e(r)$ . Сдвиг координат  $x$  достигал 6 см из-за смещения и  $\sim 7$  см из-за спада поля.

Анализ сигналов ЭЦИ в момент спада  $B_0$  и  $I_p$ , проведенный для двух подробно исследованных импульсов 49963 и 49965 позволил провести достаточно точную ( $\sim 5\%$ ) взаимную калибровку шести каналов измерений и найти относительные профили  $T_e(r)$  для всех моментов времени в этих импульсах без привлечения других данных о распределениях  $T_e(r)$ . Абсолютные значения  $T_e(r)$  находились из согласования рассчитанного разрядного напряжения с измеренным в предположении  $1,5 < Z_{eff} < 2$ . Численные расчеты показали постоянство  $Z_{eff}$  при переходе к режиму ЭЦН и дали значения  $\sim 1,6$  для импульса 49963 и  $\sim 1,9$  для импульса 49965. Значения  $T_e(0)$  для установившейся стадии омического режима в импульсе 49963 и перед ЭЦН в импульсе 49965 были близки к 1,4 кэВ.

### Результаты измерений

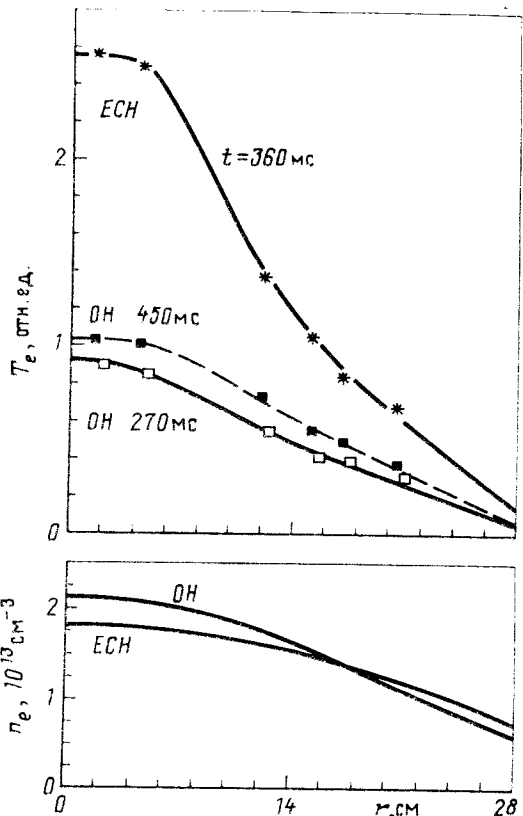


Рис. 1. Радиальные профили плотности и электронной температуры в режимах с омическим и ЭЦ нагревом

На рис.1 показаны распределения  $T_e(r)$ ,  $n_e(r)$ , полученные в импульсе 49963 перед, после и во время ЭЦ нагрева. Дополнительный нагрев в этом импульсе был включен на неустановившейся еще стадии омического нагрева ( $t = 270$  мс),

в которой отсутствовали пилообразные колебания. В импульсе 49963 был получен наибольший прирост электронной температуры  $T_e(0)$  до 2,7 раз в начале импульса ЭЦ нагрева по отношению к установившемуся омическому уровню; к концу ЭЦН подъем температуры снижался до 2,5. В импульсах 49964 и 49965, где дополнительный нагрев включался позже на 100 мс, повышение  $T_e(0)$  было таким же  $\sim 2,5$ , как и в конце импульса 49963. В трех импульсах температура электронов увеличивалась примерно вдвое на средних радиусах плазменного шнуря ( $r/a = 0,4 - 0,7$ ).

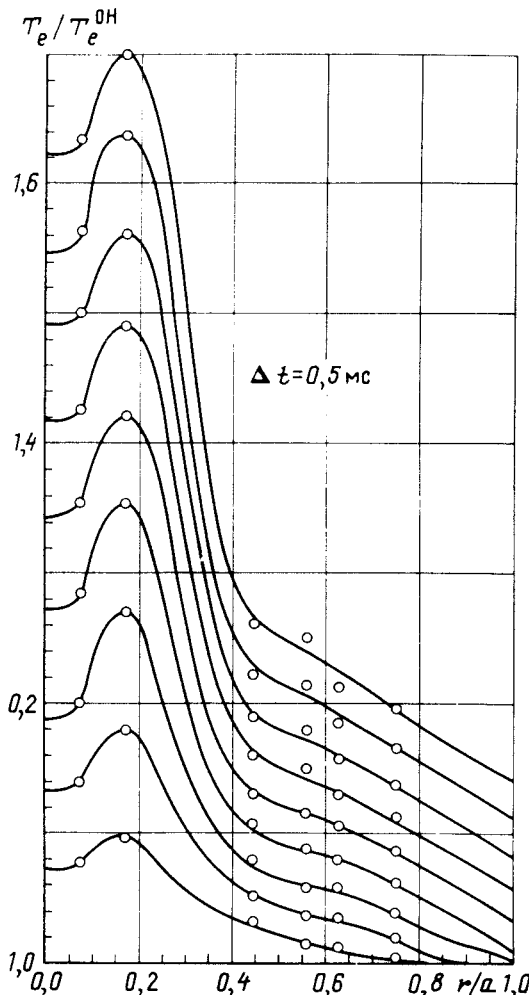


Рис. 2. Эволюция профиля  $T_e(r)$  на первых мсек дополнительного нагрева в импульсе 49963

На рис.2 показаны отношения  $T_e/T_e^{OH}$  по радиусу плазмы полученные из сигналов ЭЦИ на первых 4,5 мсек ЭЦ нагрева в импульсе 49963. Отметим, что положение максимума в распределениях на рис.2 ( $\Delta r \approx 5 \text{ см}$ ,  $R \approx 149 \pm 5 \text{ см}$ ) соответствует ожидаемому положению зоны поглощения ВЧ мощности ( $R \approx 153 - 155 \text{ см}$ ). Отметим также, что профили  $T_e/T_e^{OH}$  в импульсе 49965, в котором наблюдались пилообразные колебания на старте ЭЦН, были менее обостренными чем в импульсе 49963.

Несмотря на заметную разницу в динамике изменения профилей  $T_e(r)$  на старте ЭЦН в импульсах 49963 и 49965, рассчитанный по этим изменениям с учетом профилей  $n_e(r)$  прирост энергии в электронах  $\Delta W_e$  оказался линейным во времени в течении  $\sim 5$  мс в этих двух импульсах. Отношения  $\Delta W_e/\Delta t$  дали значения  $P_{E\text{CN}} \simeq 340$  кВт для импульса 49963 и  $\sim 320$  кВт для импульса 49965.

	$\bar{n}_e$ $10^{13} \text{ см}^{-3}$	$P_{\text{tot}}$ кВт	$P_{ei}$ кВт	$W_p$ кДж	$W_e$ кДж	$\tau_E$ мс	$\tau_E/\bar{n}_e$	$\tau_{Ee}/\bar{n}_e$
49963 OH	1,56	210	63	6,9	5,3	32	20,3	22,4
	1,43	440	57	11,4	10	26	18,2	18,4
49965 OH	1,69	210	71	6,9	5,1	32	19,1	21,2
	1,49	405	61	11,3	9,7	28	18,6	18,9

В таблице приводятся значения запаса энергии в плазме  $W$ ,  $W_e$  и кулоновской теплопередачи  $P_{ei}$  до и после дополнительного нагрева, рассчитанные по измеренным профилям  $T_e(r)$ ,  $\bar{n}_e(r)$  и модельному профилю  $T_e(r) \sim [1 - (r/a)^2]^{1,5}$ , который описывал режимы с низкими  $n_e$  в Т-10. Как видно из таблицы, мощность теплопередачи  $P_{ei}$  была заметно ниже мощности, поступающей к электронам, и возможные ошибки  $\sim 20\%$  в данных по ионной температуре не могли заметно повлиять на расчет баланса энергии в электронах. Отметим также, что, так как основные величины в этих расчетах  $W_e$  и  $P_{E\text{CN}}$  были нормированы на одни и те же профили  $T_e^{\text{OH}}(r)$ , то отношения времен  $\tau_{Ee}$  и  $\tau_E$  в режимах с ЭЦ и омическим нагревом в наших расчетах определялось с ошибкой  $\leq 10\%$ .

Как видно из таблицы, снижение  $\tau_E$  и  $\tau_{Ee}$  после учета снижения  $\bar{n}_e$  оказывается очень небольшим  $\sim 10\%$  при удвоении мощности нагрева плазмы в Т-10 за счет ЭЦН. Этот результат показывает преимущество дополнительного ЭЦ нагрева с пикированным профилем мощности, который может обеспечить небольшие изменения во времени удержания энергии в токамаке при повышении электронной температуры в 2-2,5 раза и относительно слабом повышении коэффициентов потерь  $\chi_e \sim \sqrt{T_e}$ <sup>1</sup>.

Авторы благодарны Аликаеву В.В. за подготовку эксперимента с одним гиротроном и обсуждение его результатов, Васина Н.Л. за предоставленные данные многоканальных измерений плотности плазмы.

## Литература

- Мережкин В.Г., Мухатов В.С. Препринт ИАЭ-4597/7, Москва, 1988.
- Alikaev V.V., et al. Plasma Phys. Contr. Fusion, 1987, 30, 381.
- Alikaev V.V., et al. In Plasma Phys. and Contr. Nucl. Fus. Res. Proc. 11-th Int. Conf., Kyoto, 1986) Vol.1, IAEA, Vienna, 1987, 533.